

УДК 538.945

© 1991

О НЕФОНОННОЙ СВЕРХПРОВОДИМОСТИ PdH_x

P. O. Зайцев

Анализируется электронная структура соединения PdH с учетом сильного электрон-электронного отталкивания хаббардовского типа. Определена область существования сверхпроводящего состояния при $T=0$ и в переменных степенях недозаполнения $4d^{10}$ - и $1s^2$ -атомных оболочек Pd и H^- .

Существование обратного изотопического эффекта $T_c(\text{PdH})=8 \text{ K}$, $T_c(\text{PdD})=10 \text{ K}$ [1], $\delta T_c[\text{Th}_4(\text{D}, \text{H})_5]=0$, а также большие значения безразмерного отношения $2\Delta_0/T_c=3.6 \div 3.8$ (вместо 3.53) [2] приводят к соображению о нефононной природе куплеровского спаривания в гидридах. Цель настоящей работы состоит в изучении чисто электронного механизма сверхпроводимости — того же, который определяет высокотемпературную сверхпроводимость купратов [3] и приводит к весьма резкой зависимости T_c от концентрации x .

Экспериментальное изучение электронной структуры соединений PdH_x указывает на определяющий вклад d -состояний Pd , относящихся к поверхности Ферми, $n_d > 0$, если n_d — число дырок в $4d^{10}$ -оболочке Pd . Фотоэмиссионные [4] и рентгеновские спектры [5] PdH дают дополнительный по сравнению с Pd 1s-электронный максимум, лежащий ниже уровня Ферми. Замечая, что энергия Хаббарда 1s-электронов весьма велика, можно предположить, что наблюдаемый максимум соответствует нижней заполненной электронной подзоне Хаббарда, так что $n_s < 1$, если n_s — число дырок в $1s^2$ -оболочке H^- .

Определим \bar{n}_{5s} — среднее число $5s$ -электронов Pd ; тогда для соединения PdH_x выполняется следующее условие электронейтральности:

$$n_a + xn_s = x + \bar{n}_{5s}. \quad (1)$$

Вычислив спектр одночастичных возбуждений, можно выразить средние числа заполнения n_s , n_d и \bar{n}_{5s} через температуру, химпотенциал, а также относительные сдвиги атомных уровней $r=\epsilon_d-\epsilon_s$, $\tau_s=\bar{\epsilon}_{5s}+\epsilon_s$. Для невзаимодействующих электронов и $T=0$ такие расчеты были проделаны Свитетником [6]. Однако после работ Эмери—Хирша [7, 8] стало ясно, что все зонные расчеты должны быть пересмотрены с учетом сильного электрон-электронного взаимодействия Хаббарда, которое для $4d$ - или $3d$ -электронов имеет порядок 5—7 эВ, а для 1s-электронов ≈ 17 эВ.

Соответствующие уравнения состояния для плоских комплексов CuO_2 и NiO_2 в нулевом приближении молекулярного поля были получены в работах [3, 9, 10]. Для гидрида PdH аналогичный расчет произведен в п. 1 настоящей работы. В отличие от модели Эмери [7] здесь учитывается не только катион-анионный перескок, но и перескок между ближайшими атомами Pd . Перескоками водород—водород пренебрегаем, так как 1s-функция имеет в 4 раза меньший радиус затухания, чем 4d-функция Pd . Соответственно этому для кристаллической решетки PdH запишем следующий туннельный гамильтониан:

$$\hat{H} = t \sum_{\mathbf{r}, \mathbf{r}', \lambda, \sigma} [w(\hat{d}_{\mathbf{r}\sigma}^+(\lambda)) \alpha_{\mathbf{r}'\sigma} + \text{h. c.}] + w_\lambda \hat{d}_{\mathbf{r}\sigma}^+(\lambda) \hat{d}_{\mathbf{r}'\sigma}(\lambda) + \varepsilon_d \sum_{\mathbf{r}, \sigma} \hat{d}_{\mathbf{r}\sigma}^+(\lambda) \hat{d}_{\mathbf{r}\sigma}(\lambda) + \varepsilon_s \sum_{\mathbf{r}, \sigma} \hat{a}_{\mathbf{r}\sigma}^+ \hat{a}_{\mathbf{r}\sigma}. \quad (2)$$

Здесь \hat{d}^+ и \hat{d} , \hat{a}^+ и \hat{a} — операторы рождения и уничтожения дырочных состояний в $4d^{10}$ -оболочке атомов Pd и $1s^2$ -оболочке отрицательного иона водорода; ε_d и ε_s — энергии одночастичных возбуждений дырочного типа; w^2 и w_λ^2 — вероятности переходов между Pd и H^- , а также между атомами Pd.

С учетом кубической симметрии будем считать, что индекс λ принимает два возможных значения, отвечающих двукратно вырожденным ($3z^2 - r^2$) и $\sqrt{3}(x^2 - y^2)$ -состояниям Pd.

Во второй половине настоящей работы изучается возможность перехода системы в сверхпроводящее состояние. Используя метод Дайсона [11], удается вычислить амплитуду $1s-s$ и $4d-d$ рассеяния и определить условие, при котором обращается в нуль эффективная константа λ , входящая в определение $T_c = \bar{t} \exp(-1/\lambda)$. Условие $\lambda=0$, записанное в переменных n_s , n_d и \tilde{n}_{5s} , определяет поверхность раздела сверхпроводящей и нормальной фаз для возможных значений энергетической разности r и r_5 .

В п. 3 рассмотрен предельный случай $\tilde{n}_{5s}=0$, когда фазовая диаграмма рассматривается на плоскости $0 < (n_s, n_d) < 1$.

В п. 4 дано качественное рассмотрение случая малого, но конечного значения \tilde{n}_{5s} , $n_s > 1$ — так называемая протонная область.

Предлагаемый метод имеет логарифмическую точность, что не дает возможности найти множитель перед экспонентой в определении T_c . Однако ясно, что по размерности температура сверхпроводящего перехода в общем случае определяется энергиями пересека t_{sd}^α t_{dd}^β , где показатели $\alpha + \beta = 1$ и имеют определенные значения для каждой части фазовой плоскости n_s , n_d . Для положительных α имеем отрицательный изотопический эффект, так как перенормировка, происходящая от квантовых флуктуаций, уменьшает вероятность пересека, например, через фактор Дебая—Уоллера. Будет показано, что существуют выделенные области изменения n_s и n_d , для которых спектр возбуждений определяется только через t_{dd} или только через t_{sd} . Поэтому в соответствующих частях фазовой диаграммы, там, где возможна сверхпроводимость, изотопэффект либо отсутствует, либо оказывается отрицательным.

1. Уравнения состояния

$1s$ -электроны имеют самую большую энергию Хаббарда ($U_s=17$ эВ). Энергия Хаббарда $4d$ -электронов (U_d) примерно совпадает с полной шириной $4d$ -зоны чистого Pd [6]. Если же учитывать только нижнюю дважды вырожденную e_g^2 -подзону, тогда энергии U_d , так же как U_s , оказываются наибольшими энергетическими параметрами и ниже считаются равными $+\infty$.

Для установления связи между химпотенциалом $\mu = -(\varepsilon_s + \varepsilon_d)/2$ и средними числами заполнения определим спектр одночастичных возбуждений.

В нулевом приближении самосогласованного поля (приближение «Хаббард I» [12]) обратная одночастичная функция Грина определяется следующей матрицей:

$$G_\omega^{-1}(\mathbf{p}) = \begin{pmatrix} (0, +), (0, 1), (0, 2), (5, 0) \\ (0, +) & \Omega_s(\mathbf{p}), -\tau_{s1}(\mathbf{p}), -\tau_{s2}(\mathbf{p}), 0 \\ (0, 1) & -\tau_{1s}(\mathbf{p}), \Omega_d(\mathbf{p}), -\tau_{12}(\mathbf{p}), 0 \\ (0, 2) & -\tau_{2s}(\mathbf{p}), -\tau_{21}(\mathbf{p}), \Omega_d(\mathbf{p}), 0 \\ (5, 0) & 0, 0, 0, \Omega_{5s}(\mathbf{p}) \end{pmatrix}, \quad (3)$$

$$\Omega_s(p) = i\omega - w_s f_s t_p - \epsilon_s,$$

$$\Omega_d(p) = i\omega - w_d f_d t_p - \epsilon_d.$$

Для простоты будем считать $w_s = 0$, $w_d = w_d$, $\tau_{12}(p) = \tau_{21}(p) = 0$, а все гибридизационные элементы не зависят от номера e_g -состояний — λ

$$\begin{aligned}\tau_{s1}(p) &= \tau_{s2}(p) = w f_s t_p, \\ \tau_{1s}(p) &= \tau_{2s}(p) = w f_d t_p.\end{aligned}\quad (4)$$

Предположим также, что $5s$ -состояния Pd вообще не гибридизуются, потому что по энергии лежат выше как $1s$ -, так и $4d$ -состояний. По этой причине вместе с d -зоной $5s$ -состояния образуют свои зоны с шириной w_d и w_s соответственно

$$\begin{aligned}\xi_p^{(d)} &= w_d f_d t_p + \epsilon_d, \\ \xi_p^{(5s)} &= \tilde{w}_s \tilde{f}_{5s} t_p + \tilde{\epsilon}_{5s}.\end{aligned}\quad (5)$$

Кроме того, из (3) находим еще две гибридизационные $s-d$ ветви

$$\xi_p^{(\pm)} = \frac{\epsilon_s + \xi_p^{(d)}}{2} \pm \sqrt{\left(\frac{\epsilon_s - \xi_p^{(d)}}{2}\right)^2 + f_s f_d w^2 t_p^2}. \quad (6)$$

Так называемые концевые множители f_s , \tilde{f}_{5s} и f_d в используемом приближении (6) выражаются через средние числа заполнения n_s , n_d . В предельном случае бесконечной энергии Хаббарда

$$f_d = 1 - \frac{3}{4} n_d,$$

$$\tilde{f}_{5s} = f - \frac{\tilde{n}_{5s}}{2},$$

$$f_s = \begin{cases} 1 - n_s/2, & n_s < 1, \\ n_s/2, & n_s > 1. \end{cases} \quad (7)$$

Два первых соотношения справедливы для малого числа $5s$ -электронов ($\tilde{n}_{5s} < 1$) и для малого числа $4d$ -дырок ($n_d < 1$). Последнее соотношение учитывает возможность резонанса между атомными состояниями водорода и H^- ($n_s < 1$ — анионная модель) или резонанса между протоном и нейтральным водородом ($n_s > 1$ — протонная модель). Самы числа заполнения определяются произведениями концевых множителей (7) на соответствующие матричные элементы одночастичной функции Грина

$$n_d = 2f_d \left\{ \sum_p n_F(\xi_p^{(d)}) + \sum_{\alpha=\pm} a_p^{(\alpha)} n_F(\xi_p^{(\alpha)}) \right\}, \quad (8a)$$

$$\sum_{p, \alpha=\pm} a_p^{(-\alpha)} n_F(\xi_p^{(\alpha)}) = \begin{cases} n_s/2f_s, & n_s < 1, \\ (n_s - 1)/\tilde{f}_{5s}, & n_s > 1. \end{cases} \quad (8b)$$

$$\tilde{n}_{5s} = 2\tilde{f}_{5s} \sum_p n_F(\xi_p^{(5s)}), \quad (8b)$$

$n_F(\epsilon)$ — распределение Ферми. Нормальные координаты, так же как и спектр возбуждения (6), определяются через f_s и f_d

$$a_p^{(\pm)} = \frac{1}{2} \left[1 \pm \frac{\xi_p^{(d)} - \epsilon_s}{\sqrt{(\xi_p^{(d)} - \epsilon_s)^2 + 4f_s f_d w^2 t_p^2}} \right]. \quad (9)$$

Необходимо отметить, что, согласно (2), в отсутствие $5s$ -электронов все состояния $1s$ отвечают анионному типу возбуждений $n_s < 1$. При заданных

разностях энергий между $5s$ и $4d$, а также между $4d$ - и $1s$ -состояниями все три величины n_s , n_d и \tilde{n}_{5s} однозначно определяются пересечением однопараметрической траектории (8) с плоскостью электронейтральности (1), которая, таким образом, фиксирует величину химпотенциала.

2. Условие сверхпроводимости

Для выявления куперовской неустойчивости [13] запишем условие разрешимости системы однородных уравнений для двухчастичной вершинной части $\Gamma_{\alpha\beta}$. В лестничном приближении, справедливом для несингулярной плотности состояний, имеем

$$\Gamma_{\alpha\beta} = -T \sum_{\omega, p} g_{\alpha\beta\lambda\nu}(p) G_{\omega}^{\lambda\lambda'}(p) G_{-\omega}^{\nu\nu'}(-p) \Gamma_{\lambda'\nu'}. \quad (10)$$

Здесь $g_{\alpha\beta\lambda\nu}$ — неприводимая вершинная часть, которая в логарифмическом приближении выражается через борновскую амплитуду рассеяния. Согласно Дайсону [11], эффект рассеяния определяется двойными перестановочными соотношениями X -операторов Хаббарда (подробнее см. работу автора [14])

$$g_{\alpha\beta\lambda\nu} \sim \{X_r^\alpha [X_r^\beta, \hat{H}]\}, \quad (11)$$

через которые выражаются операторы рождения и уничтожения. В изучаемом пределе $U_d = \infty$ имеем

$$\begin{aligned} \hat{d}_{r\sigma}^+(\lambda) &= X_r^{\lambda_\sigma, 0}, & \hat{a}_{r\sigma}^+ &= X_r^{\sigma, 0} + \sigma X_r^{2, \bar{\sigma}}, \\ \hat{d}_{r\sigma}(\lambda) &= X_r^{0, \lambda_\sigma}, & \hat{a}_{r\sigma} &= X_r^{0, \sigma} + \sigma X_r^{\bar{\sigma}, 2}. \end{aligned} \quad (12)$$

После подстановки (12) в гамильтониан (2) с помощью (11) определим все возможные ненулевые компоненты $g_{\alpha\beta\lambda\nu}$. Произведя затем простейшие алгебраические преобразования с использованием уравнения Дайсона, находим уравнение для T_c в виде следующего условия разрешимости (см. работу автора [9], посвященную модели Эмери):

$$\pm 2T \sum_{\omega, p, \lambda} [G_{\lambda\lambda}^{(0)} f_\lambda]^{-1} G_{\omega}^{\lambda\lambda}(p) G_{-\omega}^{\lambda\lambda}(-p) = 1. \quad (13)$$

Здесь $G_{\omega}^{\lambda\lambda}$ — диагональные компоненты виртуальной функции Грина, вычисляемые через обратную функцию Грина (3); $[G_{\lambda\lambda}^{(0)}]^{-1}$ — компоненты обратной функции Грина (3), вычисленные в пределе $\tau_{ik}(p) = 0, i\omega \rightarrow 0+$. Знаки (\pm) выбираются соответственно для верхней или нижней $1-s$ -подзоны Хаббарда. После суммирования по частотам получаем логарифмические интегралы, выражющиеся через плотность состояний и нормальные координаты (9)

$$T_c \sim \exp(-1/\lambda),$$

где

$$\lambda = \pm \frac{2\varepsilon_s}{f_s} \sum_{p, \alpha=\pm} (a_p^{(-\alpha)})^2 \delta(\xi_p^{(\alpha)}) - \frac{\varepsilon_d}{f_d} \sum_p \left\{ \delta(\xi_p^{(d)}) + \sum_{\alpha=\pm} (a_p^{(\alpha)})^2 \delta(\xi_p^{(\alpha)}) \right\}. \quad (14)$$

Здесь верхний (нижний) знак перед первым слагаемым отвечает заполнению нижней ($n_s < 1$) или верхней ($n_s > 1$) зоны Хаббарда. Соотношение (14) справедливо в отсутствие $5s$ -электронов.

При наличии небольшой концентрации $5s$ -электронов имеет место уменьшение эффективной константы БКШ, происходящее из-за отталкивателяного характера рассеяния $5s-s$ -типа. В простейшем случае отсутствия гибридизации учет $5s$ -электронов сводится к замене

$$\lambda \rightarrow \tilde{\lambda} = \lambda - 2\varphi p_0^{(s)}(\varphi) \tilde{f}_{5s}^{-1}, \quad (15)$$

где $\varphi = -\xi_{5s}/\tilde{f}_{5s} w_{5s}$ — безразмерный параметр, который определяет среднее число $5s$ -электронов \tilde{n}_{5s} ,

$$\tilde{n}_{5s} = 2\tilde{f}_{5s} \int_{\max(-1, \varphi)}^1 \rho_0^{(s)}(\varepsilon) d\varepsilon, \quad (16)$$

$$\tilde{f}_{5s} = 1 - \frac{\tilde{n}_{5s}}{2},$$

$\rho_0(\varepsilon)$ — затравочная плотность $5s$ -состояний.

3. Фазовая диаграмма анионных состояний ($\tilde{n}_{5s}=0, n_s < 1$)

Предположим, что влияние $5s$ -электронов несущественно. При этом положение точки n_s и n_d на фазовой диаграмме определяется химпотенциалом $\mu = -(\varepsilon_s + \varepsilon_d)/2$ и энергетической разностью $r = \varepsilon_d - \varepsilon_s$. По своему физическому смыслу ε_d есть энергия одной дырки в замкнутой $4d^{10}$ -оболочке Pd. Она может быть найдена из эксперимента как разность между энергией однократной ионизации Pd и Pd^+ : $\varepsilon_d^{(e)} = 8.33 - 19.42 = -11.09$ эВ. Энергия ε_s есть разность между энергией основного состояния атома водорода и энергией H^- : $\varepsilon_s^{(e)} = -13.6 + 0.75 = -12.85$ эВ. Отсюда находим вакуумное значение параметра $r_e = \varepsilon_d^{(e)} - \varepsilon_s^{(e)} = 1.76$ эВ.

Положительное значение r_e представляется вполне естественным, так как в пустоте $n_d \ll 1, n_s \sim 1$, что соответствует нейтральному палладию и нейтральному водороду.

Если, однако, в качестве исходного рассмотреть случай $n_d \leq 1, n_s \leq 1$, тогда каждый ион Pd^+ находится в окружении H^- , и наоборот.

Как впервые отметил Слэтер [15], в этой ситуации к вакуумному значению r_e необходимо добавить разность потенциалов между точками нахождения катиона (Pd^+) и аниона (H^-), умноженную на абсолютное значение заряда электрона.

Для решетки NaCl эта величина хорошо известна $\delta r = -6.988 e^2/a$. Изменение δr , происходящее от кристаллического поля, компенсирует положительное значение r_e уже на достаточно больших катион-катионных расстояниях a . Таким образом, при движении вдоль линии электронейтральности $n_s + n_d = 1$ величина $r = \varepsilon_d - \varepsilon_s$ изменяется от своего положительного значения до $r = -22.27$ эВ при $a = 4.1$ Å и целочисленных значений зарядов, локализованных на ядрах Pd^+ и H^- . В промежуточной области предположение о точечных зарядах неадекватно. По этой причине ниже не ставится задача самосогласованного вычисления значения δr . Вместо этого рассматриваются всевозможные значения r , для которых при $T=0$ возможно существование сверхпроводящих состояний.

При небольших значениях $|r|$ можно сделать общие утверждения, не зависящие ни от относительной величины параметров w и w_d , ни от конкретного вида затравочной плотности состояний $\rho_0(\varepsilon) = \sum_p \delta(\varepsilon - t_p)$, которую мы считаем четной и нормированной на интервал $-1 < \varepsilon < 1$.

Для малых n_s и n_d сверхпроводимость отсутствует, т. е. обе амплитуды $s-s$ - и $d-d$ -рассеяния при малой энергии Ферми и положительной энергии Хаббарда имеют положительный знак, что соответствует отталкиванию.

При $\varepsilon_d < \varepsilon_s$ и когда заполняются нижние $\xi_p^{(-)}$ и $\xi_p^{(d)}$ подзоны амплитуды $s-s$ -рассеяния неэффективна, в то время как $d-d$ -амплитуда проходит через нуль, если $\varepsilon_d \rightarrow 0$. Можно заметить, что для больших $|r|$ условию $\varepsilon_d = 0$ отвечает половинное заполнение $\xi_p^{(-)}$ - и $\xi_p^{(d)}$ -подзон. Отсюда заключаем, что при $\tilde{n}_{5s} = 0$ и $T=0$ границе фаз отвечает следующее соотношение:

$$\frac{n_s}{2f_s} + \frac{n_d}{2f_d} = 1. \quad (17)$$

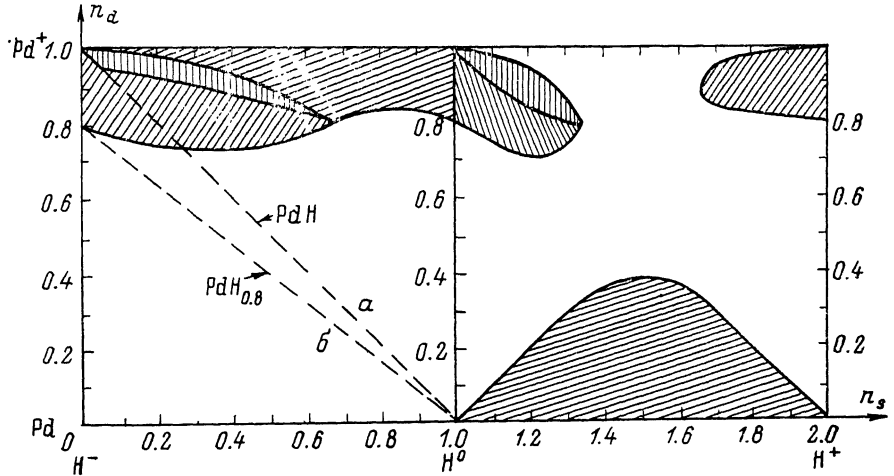
В качестве границы фаз это условие справедливо для $\varepsilon_s - \varepsilon_d > f_s w^2/w_d$. Если же выполняется обратное неравенство, тогда область нормальной

фазы расширяется. Можно утверждать, что при $-r > f_d w_d$ сверхпроводящая область определяется следующими условиями:

$$1 + \int_{\min(1, \epsilon_s w_d / f_s w^2)}^1 \rho_0(\epsilon) d\epsilon < \frac{n_s}{2f_s} + \frac{n_d}{2f_d} \leq 2. \quad (18)$$

Правое неравенство отвечает полному заполнению обеих $\xi_p^{(-)}$ - и $\xi_p^{(d)}$ -подзон.

При дальнейшем повышении химпотенциала, когда начинает заполняться $\xi_p^{(+)}$ -подзона, сверхпроводимость существует за счет $s-s$ -рассеяния с отрицательной амплитудой.



Фазовая диаграмма для случая $w=w_d$, $w_s=0$ и полуэллиптическая плотность состояний $\rho_0(\epsilon)=2\sqrt{1-\epsilon^2}/\pi$.

Сверхпроводящие области заштрихованы. Штриховые линии есть линии электроннейтральности при $x=1$ (а) и 0.8 (б).

В предельном случае $w_s=0$ энергия верхней $\xi_p^{(+)}$ -подзоны имеет минимум при $t_p=0$, равный ϵ_s . По этой причине для $|r| > f_d w_d$ вторая сверхпроводящая область определяется условиями

$$2 < \frac{n_s}{2f_s} + \frac{n_d}{2f_d} < 3. \quad (19)$$

Если же $|r| < f_d w_d$, сверхпроводящая область (19) не меняется, однако внутри нее появляется область, где сверхпроводимость существует как за счет $s-s$, так и за счет $d-d$ -рассеяния.

Рассмотрим случай $\epsilon_d > \epsilon_s$. Для больших значений $r = \epsilon_d - \epsilon_s > f_d w_d$, когда заполнение нижней $\xi_p^{(-)}$ -подзоны происходит при пустых $\xi_p^{(d)}$ - и $\xi_p^{(-)}$ -подзонах, сверхпроводимость вообще не возникает. Если $r > w^2 f_s / w_d$, то сверхпроводимость появляется только после того, как произойдет пологонное заполнение $\xi_p^{(d)}$ - и $\xi_p^{(+)}$ -подзон. При этом

$$\frac{n_d}{2f_d} + \frac{n_s}{2f_s} > 2. \quad (20)$$

Это условие формально совпадает с (18), однако при $r < f_s w^2 / w_d$ вместо (20) получаем иное, уточненное условие существования сверхпроводящего состояния ($\epsilon_d=0$), не совпадающее с (18)

$$\frac{n_d}{2f_d} + \frac{n_s}{2f_s} \geq 2 - \int_{-1}^{\max[-1, w_d \epsilon_s / w^2 f_s]} \rho_0(\epsilon) d\epsilon. \quad (21)$$

Знак равенства отвечает границе фаз, которую при $r > w^2 f_s / f_d w_d$ находим при $\epsilon_d=0$. Замечая, что значению $n_s=1$ соответствует $f_s=1/2$, находим

критическую точку ($n_d = 4/5$, $n_s = 1$), с которой начинается кривая (21). Отсюда сразу заключаем, что для $r > 0$ сверхпроводимость при условии $\tilde{n}_{5s} = 0$ существует вне кривой электронейтральности $n_s = n_d = 1$. Можно также заметить, что для $r < 0$ кривая электронейтральности пересекает область существования сверхпроводящих состояний (18) (см. рисунок).

4. Фазовая диаграмма в протонной области ($1 < n_s < 2$)

Согласно условию (1), появление протонных состояний, когда $1 < n_s < 2$, оказывается возможным при наличии хотя бы малого числа $5s$ -электронных состояний. При этом происходит уменьшение константы БКШ за счет отрицательного вклада отталкивателей амплитуды $5s-s$ -рассеяния. Можно заметить, что такая ситуация сохраняется вплоть до $\tilde{n}_{5s} = 2/3$, где происходит изменение знака амплитуды $5s-s$ -рассеяния. Ниже рассматривается случай $\tilde{n}_{5s} < 2/3$.

Для верхней зоны Хаббарда $2 > n_s > 1$ определение (14) константы λ берется с верхним знаком 1-го слагаемого, а затем всюду необходимо произвести замену $\varepsilon_s \rightarrow \tilde{\varepsilon} = \varepsilon_s + U_s$, $f_s \rightarrow \tilde{f}_s = n_s/2$. Точно такие же преобразования необходимо произвести и в уравнениях состояния (8). При этом происходит существенное уменьшение вакуумного значения параметра $r_v \rightarrow \tilde{r} = r_v - U_s$, где U_s — энергия Хаббарда $1-s$ -электронов. Таким образом, если в анионной области ($n_s < 1$) отрицательные r достигаются за счет кристаллического потенциала, то в протонной области отрицательные \tilde{r} возможны за счет большой электронной энергии связи нейтрального атома водорода.

Можно видеть, что в условиях $\tilde{\varepsilon}_s > \varepsilon_d$ положительное λ возникает как только $\xi_p^{(-)}$ - и $\xi_p^{(d)}$ -подзоны заполняются более чем наполовину. Для $-\tilde{r} = \tilde{\varepsilon}_s - \tilde{\varepsilon}_d > w_d f_d$ этой ситуации отвечают неравенства

$$1 + \int_{\min(1, \tilde{\varepsilon}_s w_d / f_s w^2)}^1 p_0(\varepsilon) d\varepsilon \leq \frac{n_d}{2f_d} + \frac{n_s - 1}{\tilde{f}_s} < 2. \quad (22)$$

При не слишком больших значениях $-\tilde{r} < w_d f_d$ заполнение подзоны $\xi_p^{(+)}$ начинается раньше, чем успеет заполниться $\xi_p^{(d)}$ -подзона. При этом происходит ограничение области существования сверхпроводящих состояний, так как возбуждения из верхней подзоны вносят свой отталкивателей вклад в полную амплитуду рассеяния.

В обратном случае, когда $\tilde{\varepsilon}_s < \varepsilon_d$, сверхпроводимость осуществляется при заполнении всей нижней $\xi_p^{(-)}$ -подзоны, до тех пор пока не начнет заполняться $\xi_p^{(d)}$ -подзона. Таким образом, для всех $\tilde{r} = \varepsilon_d - \tilde{\varepsilon}_s > w_d f_d$ сверхпроводимость осуществляется при условии

$$\frac{n_d}{2f_d} + \frac{n_s - 1}{\tilde{f}_s} \leq 1. \quad (23)$$

При $0 < \tilde{r} < w_d f_d$ заполнение $\xi_p^{(-)}$ -подзоны сопровождается заполнением $\xi_p^{(d)}$ -подзоны. Поэтому с ростом концентрации d -дырок их положительный вклад в амплитуду рассеяния компенсирует отрицательный вклад, происходящий от рассеяния $\xi_p^{(+)}$ -возбуждений. В результате сверхпроводимость исчезает на линии $n_d = n_s$ (n_s), проходящей под кривой, соответствующей нулевому значению параметра \tilde{r} (см. рисунок, на котором изображена фазовая диаграмма для случая $w = w_d$, $w_s = 0$).

Ситуация при $n_d \leq 1$, $n_s \leq 2$ вполне аналогична той, что происходит при $n_d \ll 1$, $n_s \geq 1$. Сверхпроводимость d -дырок появляется, когда параметр ε_d обращается в нуль. Если при этом $\tilde{\varepsilon}_s < \varepsilon_d = 0$, тогда нижняя $\xi_p^{(-)}$ -подзона заполнена полностью, так что ее состояния в спаривании не участвуют. Отсюда находим третью область существования сверхпроводимости

$$2 - \int_{-1}^{\max(-1, \frac{\xi_s w_d / w^2 f_s}{\varepsilon})} p_0(\varepsilon) d\varepsilon \leq \frac{n_s - 1}{f_s} + \frac{n_d}{2f_d}. \quad (24)$$

Соотношения (22)–(24) определяют сверхпроводящие области для двух значений плотности 5s-электронов: $\tilde{n}_{5s}=0$ и $\tilde{n}_{5s}=2/3$. В промежуточной области сверхпроводимость определяется из условия положительной константы λ или

$$\lambda > 2\varphi p_0^{(5s)}(\varphi)/\tilde{f}_{5s}. \quad (25)$$

Если минимальной энергии 5s-электронов отвечает нулевая плотность состояний $p_0^{(5s)}(\pm 1)=0$, то с повышением концентрации \tilde{n}_{5s} происходит резкое уменьшение сверхпроводящих областей по сравнению с (22)–(24). Однако с уменьшением параметра φ правая сторона (25) начинает уменьшаться. Поэтому в пределе $\varphi \ll 1$, когда $\tilde{n}_{5s} \leq 2/3$, сверхпроводящие области снова определяются соотношениями (22)–(24). Исчезают ли вообще сверхпроводящие области при некоторых промежуточных \tilde{n}_{5s} ? Это зависит от конкретного вида затравочных плотностей состояний (s , d) и 5s-возбуждений.

5. Заключение

Важной особенностью изучаемого механизма является резкая зависимость знака амплитуды рассеяния, вычисленной на поверхности Ферми, от расположения последней внутри зоны Бриллюэна. Эта особенность проявляется в наличии нескольких неперекрывающихся сверхпроводящих областей фазовой плоскости (n_s , n_d).

Согласно (18), наклон линий фазовых переходов вблизи точки ($n_s=0$, $n_d=1$) составляет $|\partial n_s/\partial n_d|=1/16$, так что для $\tilde{n}_{5s}=0$ линия электронейтральности проходит внутри сверхпроводящей области (18). Вблизи точки $n_s=0$, $n_d=0.8$ наклон линии фазового перехода $|\partial n_d/\partial n_s|=0.16$. Линия электронейтральности, проходящая через эту точку, соответствует $x=0.8$, $n_d+0.8 n_s=0.8$ и имеет в два раза больший наклон. Отсюда заключаем, что для $x < 0.8$ линия электронейтральности проходит вне сверхпроводящей области. С уменьшением x от единицы происходит резкое уменьшение температуры сверхпроводящего перехода T_c , которая заведомо обращается в нуль при $x=0.8$. Этот результат качественно согласуется с экспериментом [16]: при $x=0.8$ T_c (Pd, D)=2 К, T_c (Pd, H) < 0.1 К.

Заметим, что внутри сверхпроводящей части фазовой диаграммы имеется область, которая соответствует заполнению только одной $\xi_p^{(d)}$ -подзоны. На рисунке она изображена вертикальной штриховкой. Здесь T_c определяется только прямым перескоком t_{sd} -электронов между соседними атомами Pd. (тсюда заключаем, что в этой области изотопический эффект по водороду отсутствует.

В остальной части фазовой диаграммы T_c определяется обоими энергетическими параметрами f_{sd} и t_{sd} , которые имеют одинаковый порядок величины и поэтому в равной степени определяют T_c .

Таким образом, в случае одновременного заполнения $\xi_p^{(\pm)}$ - и $\xi_p^{(d)}$ -подзоны следует ожидать отрицательного изотопического эффекта, если интеграл перескока t_{sd} уменьшается с понижением массы изотопа водорода.

Автор благодарит Ю. В. Михайлову за проведение численных расчетов.

Список литературы

- [1] Skoskiewicz T. et al. // J. Phys. St. C: Solid St. Phys. 1974. V. 7. N 15. P. 2607–2613.
- [2] Eicher et al. // Sol. St. Commun. 1975. V. 17. N 2. P. 213–216.
- [3] Зайцев Р. О. // ФТТ. 1990. Т. 32. № 1. С. 277–280.
- [4] Eastman D. E. et al. // Phys. Rev. Lett. 1971. V. 27. N 1. P. 35–38.
- [5] Antonangeli F. A. et al. // Phys. Lett. A. 1975. V. 55A. N 5. P. 309–310.
- [6] Switendick A. C. // Sol. St. Commun. 1970. V. 8. N 18. P. 1463–1467.

- [7] Emery V. J. // Phys. Rev. Lett. 1987. V. 58. N 26. P. 2794—2797.
- [8] Hirsch J. E. // Phys. Rev. Lett. 1987. V. 59. N 2. P. 228—231.
- [9] Зайцев Р. О. // ФТТ. 1989. Т. 31. № 8. С. 233—243.
- [10] Зайцев Р. О., Михайлова Ю. В. // СФХТ. 1990. Т. 3. № 5. С. 792—793.
- [11] Dyson F. // Phys. Rev. 1956. V. 102. P. 1217—1230.
- [12] Hubbard J. // Proc. Roy. Soc. A. 1964. V. 281. N 1386. P. 401—409.
- [13] Гольков Л. П. // ЖЭТФ. 1958. Т. 34. № 3. С. 735—738.
- [14] Zaitsev R. O. // Phys. Lett. A. 1988. V. 134. P. 199—201.
- [15] Слэтер Дж. Методы самосогласованного поля для молекул и твердых тел. М.: Мир, 1978. С. 162.
- [16] Штицкер Б., Вюль Х. // Водород в металлах. М.: Мир, 1981. Т. 2. С. 290—326.

Институт атомной энергии
им. И. В. Курчатова
Москва

Поступило в Редакцию
29 апреля 1991 г.
